

УДК 548:539.12.04

## ПРИМЕНЕНИЕ ФИЗИЧЕСКИХ МЕТОДОВ И МЕТОДА ЭЛЕКТРОННОЙ МИКРОСКОПИИ К АНАЛИЗУ СТРУКТУРНЫХ ИЗМЕНЕНИЙ В СПЛАВЕ $\text{Ni}_3\text{Fe}$

А. А. Клопотов, Ю. А. Тимошников, Э. В. Козлов, Н. А. Конева

Томский государственный архитектурно-строительный университет, 634003 Томск

Представлены результаты исследований структурных и механических свойств и проведен анализ значений плотности и типов дислокаций, параметров дислокационного взаимодействия и энергии, затраченной на деформацию образцов сплава  $\text{Ni}_3\text{Fe}$  в различных исходных состояниях. Показано, что характер деформационного упрочнения в упорядочивающемся сплаве  $\text{Ni}_3\text{Fe}$  зависит от внешних воздействий (деформации, облучения  $\gamma$ -квантами).

**Введение.** Деформационное упрочнение металлов и упорядочивающихся сплавов сильно зависит от структурного состояния материала. В таких сплавах при переходе из разупорядоченного состояния в упорядоченное меняется структура скользящих дислокаций. Это дает возможность получать на одном сплаве широкий спектр дислокационных субструктур [1–3], что позволяет изучать эволюцию субструктур после пластической деформации, облучения потоком частиц и нагрева [1–4].

В связи с этим представляет интерес выяснить характер деформационного упрочнения в сплавах, испытывающих фазовый переход порядок — беспорядок, на примере упорядочивающегося сплава  $\text{Ni}_3\text{Fe}$  [5], поскольку для него имеются достаточно подробные сведения о состояниях атомного дальнего порядка после различных термообработок [6]. В этом сплаве при  $T = 802$  К происходит фазовый переход порядок — беспорядок (сверхструктура  $\text{L}1_2$  — разупорядоченный твердый раствор со структурой  $\text{A}1$ ). В данной работе представлены результаты исследования деформационного упрочнения в зависимости от структурных состояний сплава  $\text{Ni}_3\text{Fe}$  после пластической деформации, отжига, облучения.

**Материалы и методика эксперимента.** Материалом для исследования служил сплав  $\text{Ni}_3\text{Fe}$  в упорядоченном и разупорядоченном состояниях. Состояние атомного дальнего порядка достигалось отжигом от температуры 810 К со скоростью охлаждения 5 К/сут до комнатной температуры. Степень атомного дальнего порядка  $\eta$  при этом достигала порядка 0,9, размеры антифазных доменов составляли 25–35 нм [6]. Состояние с ближним порядком получали закалкой образцов в воде от температуры 1000 К. Исследования проводили на поликристаллах.

Облучение  $\gamma$ -квантами осуществлялось с помощью радиоактивного источника  $^{60}\text{Co}$  при мощности дозы 278 Р/с и температуре образца не ниже 40 °С в течение 120 ч, что соответствует суммарной дозе облучения  $10^7$  Р. Для изучения дислокационной структуры, формирующейся в процессе деформации исходного и облученного материалов, монокристаллические образцы подвергали сжатию при комнатной температуре со скоростью  $10^{-3}$  с<sup>-1</sup> вдоль оси  $\langle 111 \rangle$ . Такая ориентация выбрана потому, что она является ориентацией множественного скольжения (равнотяговано 6 систем скольжения). Поликристаллические образцы со средним размером зерна порядка 40 мкм деформировали прокаткой при комнатной температуре. Электросопротивление измеряли стандартным четырехто-

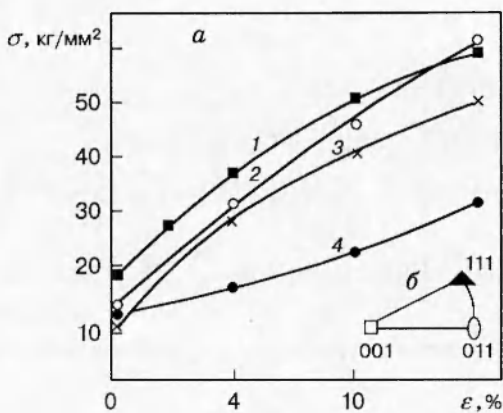


Рис. 1

чечным методом [7].

Структура образцов после различных обработок исследовалась методами просвечивающей дифракционной электронной микроскопии и рентгеновской дифрактометрии. Просмотр фольги осуществляли на электронном микроскопе ЭМВ-100АК, съемку рентгенограмм — на дифрактометре ДРОН-3. Изменение дефектности образцов после облучения и малых деформаций исследовали методом резерфордовского обратного рассеяния с использованием эффекта «канализации» вдоль направления  $\langle 111 \rangle$ .

**Результаты и обсуждение.** На рис. 1 приведены: *a* — зависимости приложенного вдоль направления  $\langle 111 \rangle$  деформирующего напряжения от степени деформации  $\varepsilon$  в монокристаллах сплава  $\text{Ni}_3\text{Fe}$  после различных видов обработки: отжига на дальний порядок, отжига с последующим облучением (доза облучения  $2 \cdot 10^6 \text{ R}$ ), закалки с последующим облучением, закалки на близкий порядок (кривые 1—4 соответственно, точки — эксперимент); *b* — стандартный стереографический треугольник.

Совершаемая в процессе деформации работа при прочих равных условиях зависит от степени несовершенства и эволюции дефектной субструктурой монокристалла в процессе нагружения. Это подтверждается кривыми деформационного упрочнения образцов монокристалла  $\text{Ni}_3\text{Fe}$  после различных видов обработки. Данное обстоятельство использовано при анализе полученных зависимостей. Работа деформации  $A \sim \sigma \Delta \varepsilon$  [8], полная работа, затраченная на деформацию до  $\varepsilon = 15\%$  при  $T = 293 \text{ K}$ , равна площади под кривой зависимости  $\sigma - \varepsilon$ . Площади, определенные по экспериментальным зависимостям деформационного упрочнения монокристалла  $\text{Ni}_3\text{Fe}$ , позволили записать цепочку неравенств

$$A_1 > A_{1+\gamma} > A_{2+\gamma} > A_2,$$

где  $A_1$ ,  $A_2$ ,  $A_{1+\gamma}$ ,  $A_{2+\gamma}$  — работа, затраченная на деформацию: отожженного монокристалла с высоким значением параметра дальнего порядка ( $\eta \rightarrow 1$ ); разупорядоченного монокристалла, закаленного от температур выше  $T_K$  фазового перехода порядок — беспорядок ( $\eta \rightarrow 0$ ); отожженного и облученного  $\gamma$ -квантами монокристалла; разупорядоченного и облученного монокристалла.

Для рассматриваемых состояний материала энергии деформации соотносятся следующим образом:

$$E_1 > E_{1+\gamma} > E_{2+\gamma} > E_2$$

(индексы соответствуют употребленным в формуле для  $A$ ).

После активной пластической деформации в сплаве  $\text{Ni}_3\text{Fe}$  происходит заметное увеличение плотности дислокаций (от  $10^8$  до  $10^{10} \text{ см}^{-2}$ ). Известно [1—3], что наиболее интенсивно

Деформация, %	$\rho, \text{ см}^{-2}$			
	Отжиг	Отжиг + облучение	Закалка	Закалка + облучение
0	$(1,0 \pm 0,2) \cdot 10^8$	$(0,7 \pm 0,2) \cdot 10^8$	$(1,0 \pm 0,2) \cdot 10^8$	$(1,0 \pm 0,2) \cdot 10^8$
10	$(1,0 \pm 0,1) \cdot 10^{10}$	$(0,8 \pm 0,1) \cdot 10^{10}$	$(1,1 \pm 0,1) \cdot 10^{10}$	$(1,8 \pm 0,1) \cdot 10^{10}$
15	$(2,0 \pm 0,2) \cdot 10^{10}$	$(2,1 \pm 0,1) \cdot 10^{10}$	$(1,6 \pm 0,2) \cdot 10^{10}$	$(1,9 \pm 0,1) \cdot 10^{10}$

возрастает плотность дислокаций на второй стадии упрочнения (область от 3 до 20 %), на третьей стадии (от 20 до 60 %) скорость их накопления уменьшается, на четвертой ( $\varepsilon > 60 \%$ ) она возрастает с постоянной скоростью. Видно, что физическая природа механизмов деформации на различных стадиях различна. При этом превращение порядок — беспорядок не изменяет природы стадийности, но сильно влияет на протяженность стадий [1], т. е. протяженность стадий зависит от структурного состояния сплава и ориентации монокристалла при деформации. В данной работе исследуемый интервал деформаций ограничен второй стадией. В упорядочивающихся сплавах с ростом степени деформации наблюдается увеличение плотности дислокаций и накопление антифазных границ в плоскости скольжения [5]; также возможно и нарушение атомного дальнего порядка в упорядоченном состоянии. Заметим, что последнее предположение является дискуссионным [9].

Электронно-микроскопическим методом на фольгах определена плотность дислокаций  $\rho$  в сплаве Ni<sub>3</sub>Fe после различных воздействий (см. таблицу). Установлено, что плотность дислокаций в необлученных закаленном и отожженном недеформированных образцах одинакова и после деформации до 25 % сплав имеет сетчато-ячеистую субструктуру с плотностью дислокаций  $2,5 \cdot 10^{10} \text{ см}^{-2}$ . Анализ электронно-микроскопических изображений позволил установить, что облучение приводит к незначительному уменьшению плотности дислокаций. На основе полученных данных можно предположить, что пластическая деформация облученных образцов сопровождается генерацией меньшего числа дислокаций и дислокационных петель. Этот эффект усиливается с увеличением степени деформации. В деформированных облученных образцах, до облучения находящихся в разупорядоченном состоянии, обнаружены сверхдислокации, что свидетельствует о частичном упорядочении разупорядоченного твердого раствора при облучении, т. е. росте атомного дальнего порядка в нем.

Важным параметром в ряде теорий деформационного упрочнения является параметр междислокационного взаимодействия  $\alpha$  [5], связывающий напряжение течения  $\sigma$  с плотностью дислокаций  $\rho$ :

$$\sigma = \sigma_f + m\alpha G|\mathbf{b}|\rho^{-1/2},$$

где  $\sigma_f$  — сопротивление деформированию недислокационного происхождения;  $m$  — фактор Шмида;  $|\mathbf{b}|$  — модуль вектора Бюргерса скользящей дислокации;  $G$  — модуль сдвига. Параметр  $\alpha$  можно определить из зависимости  $\sigma = f(\rho^{1/2})$ , которая для сплава Ni<sub>3</sub>Fe в различных исходных состояниях приведена на рис. 2 (обозначение кривых см. на рис. 1). В исследуемом интервале деформаций указанные зависимости аппроксимируются прямыми. Значения параметра  $\alpha$ , определенные по наклону этих прямых, следующие: после отжига (упорядоченное состояние) — 0,9, после отжига и облучения — 1,2, после закалки (разупорядоченное состояние) — 0,4, после закалки и облучения — 1,2. Как видно, минимальное значение  $\alpha$  наблюдается в закаленном материале, максимальное — в облученном после отжига и закалки. Таким образом, облучение приводит к усилиению междислокационных взаимодействий и деформация облученного материала обеспечивается меньшей плотностью дислокаций, чем необлученного. Следует отметить, что эти процессы происходят

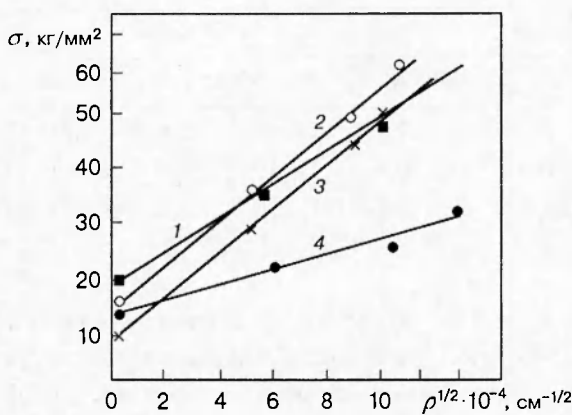


Рис. 2

в материале, в котором не обнаружено заметного возрастания радиационных дефектов (количество вакансий, образующихся в результате облучения, сравнимо с количеством закалочных вакансий [10]).

Результаты, полученные электронно-микроскопическим методом, позволяют говорить об образовании атомного дальнего порядка в закаленных образцах при воздействии на них  $\gamma$ -квантов. Это нашло подтверждение при рентгенодифракционных исследованиях. Анализ профилей интенсивности дифракционных линий, полученных рентгенодифракционным методом, в области сверхструктурного рефлекса (100) свидетельствует о том, что сплав Ni<sub>3</sub>Fe с ближним атомным порядком (закаленное состояние) в результате облучения  $\gamma$ -квантами становится частично упорядоченным. Параметр дальнего атомного порядка, оцененный по соотношению суммарных интенсивностей сверхструктурного и основного (200) рефлексов, характеризуется величиной  $\eta = 0,2 \pm 0,1$ . Видимый размер областей когерентного рассеяния, вычисленный из полуширины сверхструктурного рефлекса методом аппроксимации, оказался равным ( $25 \pm 5$ ) нм. Незначительное количественное изменение интенсивностей основных и сверхструктурных рентгеновских рефлексов в образце с дальним порядком после его облучения не дает возможности достоверно оценить изменение в нем степени дальнего порядка. Предположение о том, что облучение разупорядоченного образца приводит к образованию в нем атомного дальнего порядка, находит косвенное подтверждение при исследовании процесса деформации облученного и необлученного материалов. О перераспределении атомов в твердом растворе при облучении  $\gamma$ -квантами свидетельствуют также результаты мессбауэровских исследований [11].

Данный вывод подтверждают энергетические спектры, полученные методом резерфордовского обратного рассеяния. Анализ этих спектров позволяет утверждать, что деформация предварительно облученных монокристаллов сопровождается генерацией меньшего числа смешенных атомов по сравнению с числом смешенных атомов в образцах, только продеформированных, но не подвергнутых облучению.

Сравнение значений плотности, типов дислокаций, параметров дислокационного взаимодействия и работ, затраченных на деформацию образцов сплава Ni<sub>3</sub>Fe в различных исходных состояниях, позволяет сделать следующее заключение. Увеличение междислокационного взаимодействия в облученном материале приводит к перестройке структуры в локальных местах в области дефектов и частичному атомному упорядочению. Исследование структурного состояния методом малоуглового рассеяния рентгеновских лучей [4] свидетельствует как об изменении средней дефектности среды, так и о перераспределении электронной плотности в материале. Действительно, данные, полученные при по-

мощи этого метода в исходном упорядоченном необлученном и облученном сплаве  $Ni_3Fe$ , подтверждают образование особого структурного состояния [4]. Возможной причиной изменения кривых деформационного упрочнения при облучении является перераспределение электронной плотности относительно исходного состояния, которое и приводит к перестройке структуры в локальных местах в области дефектов и частичному атомному упорядочению [12].

## ЛИТЕРАТУРА

1. Koneva N. A., Lychagin D. V., Trishkina L. I., Kozlov E. V. Types of dislocation substructures and stages of stress-strain curves of FCC alloys // Strength of Metals and Alloys: Proc. ICSMA-7. Oxford: Pergamon Press, 1985. V. 1. P. 21–26.
2. Koneva N. A., Lychagin D. V., Teplyakova L. A., Kozlov E. V. Parameters of dislocation structures and factors determining flow stress at stages III and IV // Strength of Metals and Alloys: Proc. ICSMA-8. Helsinki: Pergamon Press, 1988. P. 385–390.
3. Koneva N. A., Trishkina L. I., Lychagin D. V., Kozlov E. V. Self-organization and phase transitions in dislocation structure // Strength of Metals and Alloys: Proc. ICSMA-9. London: Publ. Co., 1991. P. 157–164.
4. Тимошников Ю. А., Демиденко В. С., Кушнаренко В. М., Клопотов А. А. Влияние малых доз гамма-квантов на упорядочение в сплаве  $Ni_3Fe$  // Изв. вузов. Физика. 1993. № 9. С. 89–92.
5. Попов Л. Е., Конева Н. А., Терешко И. В. Деформационное упрочнение упорядоченных сплавов. М.: Металлургия, 1979.
6. Козлов Э. В., Тайлашев А. С., Штерн Д. М., Клопотов А. А. Превращение порядок — беспорядок в сплаве  $Ni_3Fe$  // Изв. вузов. Физика. 1977. № 5. С. 32–34.
7. Юм-Розери В., Христиан Дж., Пирсон В. Диаграммы равновесия металлических систем. М.: Металлургиздат, 1956.
8. Ландау Л. Д., Лифшиц Е. М. Теория упругости. М.: Наука, 1987.
9. Старченко С. В., Замятин И. П., Старченко В. А. Влияние деформации на состояние дальнего порядка в монокристалле  $Ni_3Fe$  // Структурно-морфологические основы модификации материалов методами нетрадиционных технологий: Материалы III Межгос. семинара. Обнинск, 1995. С. 33, 34.
10. Чернов В. Б., Тимошников Ю. А., Мамонтов А. О. Изменение структуры сплава ВК при воздействии малых доз  $\gamma$ -излучения // Атом. энергия. 1984. Т. 57, вып. 1. С. 58–69.
11. Зайцева Н. М., Елизарова Л. Ю., Куликов В. А. Структурные изменения в никелевом сплаве, подвергнутом облучению  $\gamma$ -квантами в газовой среде // Изв. вузов. Физика. 1996. № 2. С. 75–82.
12. Бекренев А. Б., Миркин Л. Ю. Малоугловая рентгенография деформации и разрушения материалов. М.: Изд-во Моск. ун-та, 1991.

*Поступила в редакцию 10/VI 1997 г.*